

(本试剂盒仅供体外研究使用， 不用于临床诊断！)

产品货号：E-BC-F040

产品规格：96T(40 samples)

检测仪器：荧光酶标仪(激发光波长 535 nm, 发射光波长 587 nm)

Elabscience®糖原荧光法测试盒

Glycogen Fluorometric Assay Kit

使用前请仔细阅读说明书。如果有任何问题，请通过以下方式联系我们：

电话：400-999-2100

邮箱：biochemical@elabscience.cn

网址：www.elabscience.cn

具体保质期请见试剂盒外包装标签。请在保质期内使用试剂盒。

联系时请提供产品批号(见试剂盒标签)，以便我们更高效地为您服务。

用途

本试剂盒适用于检测动物肝脏、肌肉组织和细胞样本中的糖原含量。

检测原理

糖原在淀粉糖苷酶的作用下产生葡萄糖，葡萄糖经葡萄糖氧化酶催化生成过氧化氢。随后过氧化氢在过氧化物酶作用下，将无荧光的探针氧化为有荧光的物质，其荧光强度与糖原的含量有关。

提供试剂和物品

编号	名称	规格 (Size)(96 T)	保存方式 (Storage)
试剂一 (Reagent 1)	缓冲液 A (Buffer Solution A)	30 mL×1 瓶	-20℃ 保存 6 个月
试剂二 (Reagent 2)	缓冲液 B (Buffer Solution B)	8 mL×1 瓶	-20℃ 保存 6 个月
试剂三 (Reagent 3)	探针 (Probe)	0.24 mL×1 支	-20℃ 避光 保存 6 个月
试剂四 (Reagent 4)	酶试剂 A (Enzyme Reagent A)	粉剂×1 支	-20℃ 保存 6 个月
试剂五 (Reagent 5)	酶试剂 B (Enzyme Reagent B)	粉剂×1 支	-20℃ 保存 6 个月
试剂六 (Reagent 6)	0.1 mg/mL 糖原标准品溶液 (0.1 mg/mL Glucogen Standard Solution)	0.5 mL×1 支	-20℃ 保存 6 个月
	96 孔黑色酶标板	1 板	
	96 孔覆膜	2 张	
	样本位置标记表	1 张	

说明：试剂严格按照上表中的保存条件保存，不同测试盒中的试剂不能混用。

对于体积较少的试剂，使用前请先离心，以免量取不到足够量的试剂。

所需自备物品

仪器：荧光酶标仪(激发光波长 535 nm, 发射光波长 587 nm)、恒温箱

试剂准备

① 检测前，所有试剂需平衡至室温。

② 试剂四工作液的配制：

每支试剂四粉剂用1.2 mL试剂一充分溶解，临用前配制，分装后-20°C可保存7天。

③ 试剂五工作液的配制：

每支试剂五粉剂用0.24 mL试剂二充分溶解，临用前配制，分装后2-8°C可保存7天。

④ 25 μg/mL糖原标准品的配制：

取100 μL 0.1 mg/mL的糖原标准品溶液加入到300 μL的试剂一中，混匀即可。

⑤ 反应工作液的配制：

按试剂二：试剂三：试剂五工作液体积比为46: 2: 2的比例混匀，临用前按需配制，现配现用，注意避光放置。

⑥ 不同浓度标准品的稀释：

编号	①	②	③	④	⑤	⑥	⑦	⑧
标准品浓度(μg/mL)	0	0.5	1.0	1.5	2.0	2.5	3.0	4.0
25 μg/mL 标准品(μL)	0	10	20	30	40	50	60	80
试剂一(μL)	500	490	480	470	460	450	440	420

样本准备

① 样本处理

细胞样本：取 10^6 个细胞样本用 200 μL 双蒸水低温匀浆 60 s，然后 95°C 水浴 10 min，流水冷却，4°C， $12000 \times g$ 离心 10 min，取上清液待测（样本匀浆后应立即水浴，不要放置）。

动物组织样本：按组织重量：双蒸水=0.1 g: 0.9 mL 比例进行匀浆，低温匀浆 60 s，95°C 水浴 10 min，冰水冷却，4°C， $12000 \times g$ 离心 10 min，取上清液待测。

② 样本的稀释

在正式检测前，需选择2-3个预期差异大的样本稀释成不同浓度进行预实验，根据预实验的结果，结合本试剂盒的线性范围：0.06-4.0 $\mu\text{g}/\text{mL}$ ，请参考下表稀释(仅供参考)：

样本	稀释倍数	样本	稀释倍数
10% 小鼠肝组织匀浆	3000-5000	10% 小鼠肌肉组织匀浆	10-20

注：稀释液为试剂一；肝样本稀释倍数较大可分步稀释。

实验关键点

- ① 反应工作液配好后，必须要避光放置。
- ② 水浴加热温度控制在 95°C 以上。
- ③ 由于动物死后组织中仍会有较快的无氧代谢速率，因此组织内的葡萄糖含量会迅速下降到无法检测到的水平，导致糖原被进一步水解，含量大幅度下降。要想准确的测量组织中的糖原，若不能即取即测，则需要在样本取出后采取有效的灭活手段，可立即将组织移至液氮中，然后在液氮中研磨并在-20 或-80°C 保存。

操作步骤

- ① 标准孔：向酶标板对应的标准孔中加入 50 μL 的不同浓度标准品。
测定孔：向酶标板对应的测定孔中加入 50 μL 的待测样本。
对照孔：向酶标板对应的对照孔中加入 50 μL 的待测样本。
- ② 向步骤①对应的标准孔和测定孔中加入 20 μL 的试剂四工作液。
向步骤①对应的对照孔中加入 20 μL 的试剂一
- ③ 向步骤②各孔中加入 50 μL 的反应工作液。
- ④ 酶标仪上振板 5 s，室温条件下，避光静置 30 min，荧光酶标仪上设置激发光波长 535 nm，发射光波长 587 nm，测定各孔荧光值，记测定孔荧光值为 F_1 ，对照孔荧光值为 F_2 。

操作表

	标准孔	测定孔	对照孔
待测样本(μL)	--	50	50
不同浓度标准品(μL)	50	--	--
试剂四工作液(μL)	20	20	--
试剂一(μL)	--	--	20
反应工作液(μL)	50	50	50

酶标仪上振板 5 s，室温条件下，避光静置 30 min，荧光酶标仪上设置激发光波长 535 nm，发射光波长 587 nm，测定各孔荧光值，记测定孔荧光值为 F_1 ，对照孔荧光值为 F_2 。

结果计算

标准品拟合曲线: $y = ax + b$

细胞中糖原含量的计算:

$$\frac{\text{糖原含量}}{(\mu\text{g}/10^6)} = (\Delta F - b) \div a \times f \div \frac{n}{V_1}$$

肝脏、肌肉组织中糖原含量的计算:

$$\frac{\text{糖原含量}}{(\mu\text{g}/\text{mg wet weight})} = (\Delta F - b) \div a \times f \div \frac{m}{V_2}$$

注解:

y: 标准品荧光值-空白荧光值(标准品浓度为 0 的荧光值)

x: 荧光值对应的浓度

a: 标准曲线斜率

b: 标准曲线截距

ΔF : 样本的荧光变化值($F_1 - F_2$) - 空白荧光值(标准品浓度为 0 的荧光值)

f: 待测样本加入反应体系前的稀释倍数

m: 组织湿重(100 mg)

n: n 个 10^6 细胞

V_1 : 细胞处理时加入双蒸水的体积(mL), 建议每 10^6 个细胞加入 0.2 mL

V_2 : 组织处理过程中加入双蒸水的体积(mL)

附录1 关键数据

1. 技术参数

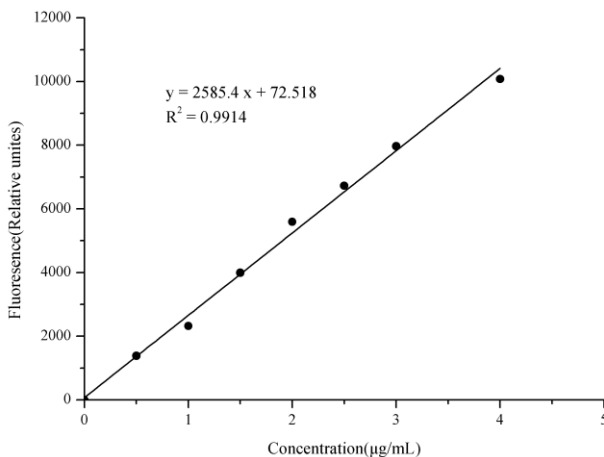
检测范围	0.06-4.0 $\mu\text{g/mL}$	平均批间差	6.6 %
灵敏度	0.06 $\mu\text{g/mL}$	平均批内差	3.4 %

2. 标准曲线(数据仅供参考)

①不同浓度的标准品加样量50 μL , 按照操作步骤进行实验, 读取各点荧光值如下表所示:

标准品浓度 ($\mu\text{g/mL}$)	0	0.5	1.0	1.5	2.0	2.5	3.0	4.0
荧光值	1269	2695	3650	5304	6826	8119	9197	11360
	1257	2599	3519	5209	6885	7861	9271	11325
平均荧光值	1263	2647	3585	5257	6856	7990	9234	11343
绝对荧光值	0	1384	2322	3994	5593	6727	7971	10080

②绘制标曲(如下图):



附录2 实例分析

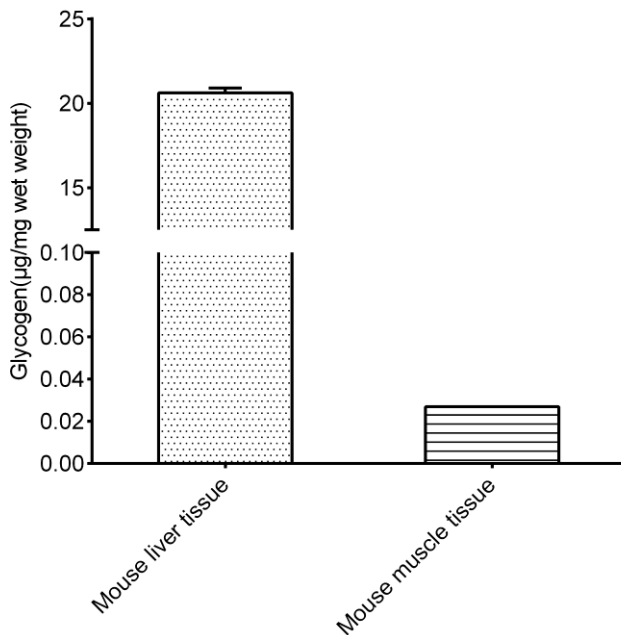
例如检测10%小鼠肝组织组织匀浆(数据仅供参考):

新鲜小鼠肝组织匀浆离心后，取稀释4000倍的10%小鼠肝组织匀浆上清50 μL，加入到酶标板相应的测定孔和对照孔中，按操作表检测，结果如下：

标准曲线： $y = 2283x + 106.49$ ，测定孔平均荧光值为3961，记为 F_1 ，对照孔平均荧光值为1103，记为 F_2 ，空白孔平均荧光值为1444，则 $\Delta F = 3961 - 1103 - 1444 = 1414$ ，计算结果为：

$$\text{糖原含量} (\mu\text{g}/\text{mg wet weight}) = (1414 - 106.49) \div 2283 \times 4000 \div \frac{100}{0.9} = 20.62 \mu\text{g}/\text{mg wet weight}$$

按照说明书，测定10%小鼠肝组织(稀释4000倍，加样量50 μL)、10%小鼠肌肉组织(稀释10倍，加样量50 μL)中的糖原含量(如下图)：



附录3 问题答疑

问题	可能原因	建议解决方案
测值不稳定，复孔差异大	加样时间过长	尽可能的缩短加样时间
样本测不出值	样本稀释倍数不合适	可进行预实验，选择合适的稀释倍数重新测定
	样本保存时间过长或者保存不当	必须取新鲜样本进行检测

声明

1. 试剂盒仅供研究使用，如将其用于临床诊断或任何其他用途，我公司将不对因此产生的问题负责，亦不承担任何法律责任。
2. 实验前请仔细阅读说明书并调整好仪器，严格按照说明书进行实验。
3. 实验中请穿着实验服并戴乳胶手套做好防护工作。
4. 试剂盒检测范围不等同于样本中待测物的浓度范围。如果样品中待测物浓度过高或过低，请对样本做适当的稀释或浓缩。
5. 若所检样本不在说明书所列样本类型之中，建议先做预实验验证其检测有效性。
6. 最终的实验结果与试剂的有效性、实验者的相关操作以及实验环境等因素密切相关。本公司只对试剂盒本身负责，不对因使用试剂盒所造成的样本消耗负责，使用前请充分考虑样本可能的使用量，预留充足的样本。

附录4 客户发表文献

1. Mu X, Xiang Z, Xu Y, et al. Glucose metabolism controls human $\gamma\delta$ T-cell-mediated tumor immunosurveillance in diabetes[J]. *Cellular & Molecular Immunology*. IF:22.096
2. Tseng S.Ja. An acid degradable, lactate oxidizing nanoparticle formulation for non-small cell lung cancer virotherapy[J]. *Nano Today*. IF:18.962
3. Zhang H, Zheng Q, Guo T, et al. Metabolic reprogramming in astrocytes results in neuronal dysfunction in intellectual disability. *Mol Psychiatry*. 2022. IF:15.992
4. Salman T M, Iyanda M A, Alli-Oluwafuyi A M, et al. Telfairia occidentalis stimulates hepatic glycolysis and pyruvate production via insulin-dependent and insulin-independent mechanisms[J]. *Metabolism Open*, 2021, 10(1-10):100092. IF:8.694
5. Li Q, Peng J, Luo Y, et al. Far infrared light irradiation enhances A β clearance via increased exocytotic microglial ATP and ameliorates cognitive deficit in Alzheimer's disease-like mice. *J Neuroinflammation*. 2022; 19 (1):145. IF:7.573
6. Zeng X Peng, Wang L J, Guo L H, et al. Dasatinib ameliorates chronic pancreatitis induced by caerulein via anti-fibrotic and anti-inflammatory mechanism[J]. *Pharmacological Research*, 2019, 147, 104357. IF:5.574
7. Daily Dose of Bovine Lactoferrin Prevents Ethanol-Induced Liver Injury and Death in Male Mice by Regulating Hepatic Alcohol Metabolism and Modulating Gut Microbiota[J]. *Molecular Nutrition & Food Research*. IF:5.426
8. Wang Y, Xie W, Feng Y, et al. Epithelial-derived exosomes promote M2 macrophage polarization via Notch2/SOCS1 during mechanical ventilation. *Int J Mol Med*. 2022; 50 (1). IF:5.314
9. Yu C, Wang D, Tong Y, et al. Trans -Anethole Alleviates Subclinical Necro-Haemorrhagic Enteritis-Induced Intestinal Barrier Dysfunction and Intestinal Inflammation in Broilers. *Front Microbiol*. 2022; 13:831882. IF:5.259
10. Xu Y , Zhang Y , Xu Y , et al. Activation of CD137 signaling promotes macrophage apoptosis dependent on p38 MAPK pathway-mediated mitochondrial fission[J]. *The International Journal of Biochemistry & Cell Biology*, 2021 Jul; 136:106003. IF:5.085
11. Naseh A, Shirin B, Maryam M,et al.Attenuation of chronic arsenic neurotoxicity via melatonin in male offspring of maternal rats exposed to arsenic during conception: Involvement of oxidative DNA damage and inflammatory signaling cascades[J]. *Life Sciences* 266 (2021) 118876. IF:5.037

12. Zhong J, Sun P, Xu N, et al. Canagliflozin inhibits p-gp function and early autophagy and improves the sensitivity to the antitumor effect of doxorubicin[J]. Biochemical Pharmacology, 2020, 175: 113856. IF:4.96
13. Wang L J, He L, Hao L, et al. Isoliquiritigenin ameliorates caerulein-induced chronic pancreatitis by inhibiting the activation of PSCs and pancreatic infiltration of macrophages[J]. Journal of Cellular and Molecular Medicine, 2020. IF:4.486
14. Laurian R, Ravent J, Dementhon K, et al. Candida albicans Hexokinase 2 Challenges the Saccharomyces cerevisiae Moonlight Protein Model[J]. Microorganisms, 2021, 9(4):848. IF:4.128
15. Liu J, Duan P, Xu C Y, et al. CircRNA circ-ITCH improves renal inflammation and fibrosis in streptozotocin-induced diabetic mice by regulating the miR-33a-5p/SIRT6 axis[J]. Inflammation Research, 2021. IF:4.114
16. Yu H, Zhang L, Chen P, et al. Dietary bile acids enhance growth, and alleviate hepatic fibrosis induced by a high starch diet via AKT/FOXO1 and cAMP/AMPK/SREBP1 pathway in Micropterus salmoides[J]. Frontiers in Physiology, 2019, 10. IF:3.367
17. Sohini Sen, Shaunak Ghosh, Sayantan De, et al. Immunomodulatory and antimicrobial non-mulberry Antheraea mylitta silk fibroin accelerates in vitro fibroblast repair and regeneration by protecting oxidative stress[J]. RSC Advances, 2021 May; 11(31):19265-19282. IF:3.361
18. Li Jianda,Yuan Chen,Liu Peng et al. Red blood cells serve as a vehicle for PEDV transmission.[J] .Vet Microbiol, 2021, 257: 109081. IF:3.293
19. Ali A, Elsherbiny D, Azab S, et al. The diuretic amiloride attenuates doxorubicin-induced chemobrain in rats: Behavioral and mechanistic study[J]. Neurotoxicology, 2021, 88:1-13. IF:3.088
20. Yang H, Gan S, Jiang Z, et al. Protective effects of essential oil from Fructus Alpiniae zerumbet on retinal Müller gliosis via the PPAR- γ -p-CREB signaling pathway[J]. Chinese Medicine, 2020, 15(1): 4. IF:2.96
21. Chen Wenqi,Li Yuehua,Zhong Jing et al. circ-PRKCI targets miR-1294 and miR-186-5p by downregulating FOXK1 expression to suppress glycolysis in hepatocellular carcinoma.[J] .Mol Med Rep, 2021, 23: undefined. IF:2.952
22. Cui Y, Wang Y, Liu G. Protective Effect of Barbaloin in a Rat Model of Myocardial Ischemia Reperfusion Injury Through the Regulation of the CNPY2?PERK Pathway[J]. International Journal of Molecular Medicine, 2019. IF:2.928

23. Li H, Xia T, Guan Y, et al. Sevoflurane Regulates Glioma Progression by Circ_0002755/miR-628-5p/MAGT1 Axis[J]. *Cancer Management and Research*, 2020, 12: 5085. IF:2.886
24. Cheng F, Yu J, Zhang X, et al. CircSEC31A Promotes the Malignant Progression of Non-Small Cell Lung Cancer Through Regulating SEC31A Expression via Sponging miR-376a[J]. *Cancer Management and Research*, 2020, Volume 12:11527-11539. IF:2.886
25. Sanjeev S, Murthy M K, Devi M S, et al. Isolation, characterization, and therapeutic activity of bergenin from marlberry (*Ardisia colorata Roxb.*) leaf on diabetic testicular complications in Wistar albino rats[J]. *Environmental Science and Pollution Research*, 2019: 1-20. IF:2.8
26. Dede A, Arslanyolu M. The in vivo *Tetrahymena thermophila* extracellular glucose drop assay for characterization of mammalian insulin activity[J]. *European Journal of Protistology*, 2021, 79(1):125803. IF:2.432
27. Wang F, Chen H, Chen Y, et al. Diet-induced obesity is associated with altered expression of sperm motility-related genes and testicular post-translational modifications in a mouse model[J]. *Theriogenology*, 2020. IF:2.094
28. Bhargava P, Verma V K, Malik S, et al. Hesperidin Regresses Cardiac Hypertrophy by Virtue of PPAR- γ Agonistic, Anti-Inflammatory, Antiapoptotic, and Antioxidant Properties[J]. *Journal of biochemical and molecular toxicology*, 2019: e22283. IF:1.837
29. Adeyemi W J, Abdussalam T A, Abdulrahim A, et al. Elevated, sustained, and yet reversible biotoxicity effects of lead on cessation of exposure: Melatonin is a potent therapeutic option[J]. *Toxicology and Industrial Health*, 2020, 36(7): 477-486. IF:1.708
30. Ustunova S, Takir S, Yilmazer N, et al. Hydrogen sulphide and nitric oxide cooperate in cardioprotection against ischemia/reperfusion injury in isolated rat heart[J]. *in vivo*, 2020, 34(5): 2507-2516. IF:1.541